

自旋 $1/2$ （二能级）体系

一、轨道角动量算符

二、自旋角动量

一、轨道角动量算符

A、定义

B、对易关系

C、球极坐标系中的表示

D、轨道角动量算符的本征值和本征函数

一、轨道角动量算符

A、定义 经典力学中角动量 $\vec{L} = \vec{r} \times \vec{p}$

量子力学中仍然以上式定义角动量，只是 \vec{r} , \vec{p} 现在是算符，并不对易

$$L_x = yp_z - zp_y$$

$$L_y = zp_x - xp_z$$

$$L_z = xp_y - yp_x$$

或写成： $L_j = \varepsilon_{jkl} x_k p_l$ （重复指标求和）

ε_{jkl} 为反对称张量 $\varepsilon_{123} = \varepsilon_{231} = \varepsilon_{312} = 1$

Levi-Civita符号 $\varepsilon_{132} = \varepsilon_{321} = \varepsilon_{213} = -1$

L_x , L_y , L_z 是厄米算符，因为每个分量定义式中坐标与动量分量乘积是对易的

定义角动量平方算符 $L^2 = L_x^2 + L_y^2 + L_z^2$

B、对易关系

$$\begin{aligned}[L_x, L_y] &= [yp_z - zp_y, zp_x - xp_z] \\&= [yp_z, zp_x] - [yp_z, xp_z] - [zp_y, zp_x] + [zp_y, xp_z] \\&= y[p_z, zp_x] + [y, zp_x]p_z + z[p_y, xp_z] + [z, xp_z]p_y \\&= y[p_z, z]p_x + x[z, p_z]p_y \\&= -i\hbar(yp_x - xp_y) = i\hbar L_z\end{aligned}$$

同理 $[L_y, L_z] = i\hbar L_x$

$$[L_z, L_x] = i\hbar L_y$$

$$[L_\alpha, L_\beta] = \varepsilon_{\alpha\beta\gamma} i\hbar L_\gamma$$

又可写作

$$\vec{L} \times \vec{L} = i\hbar \vec{L}$$



$$\begin{pmatrix} \vec{i} & \vec{j} & \vec{k} \\ L_x & L_y & L_z \\ L_x & L_y & L_z \end{pmatrix} = i\hbar \begin{pmatrix} L_x \\ L_y \\ L_z \end{pmatrix}$$

此式可作为轨道角动量算符的定义

$$[L^2, L_x] = [L^2, L_y] = [L^2, L_z] = 0 \quad \text{合并后} [L^2, \vec{L}] = \mathbf{0}。$$

另外角动量算符与坐标算符对易关系

$$[L_x, x] = 0, [L_x, y] = i\hbar z, [L_x, z] = -i\hbar y$$

$$[L_y, x] = -i\hbar z, [L_y, y] = 0, [L_y, z] = i\hbar x$$

$$[L_z, x] = i\hbar y, [L_z, y] = -i\hbar x, [L_z, z] = 0$$

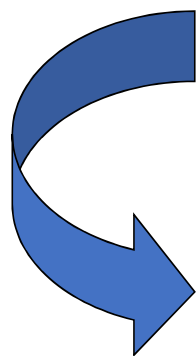
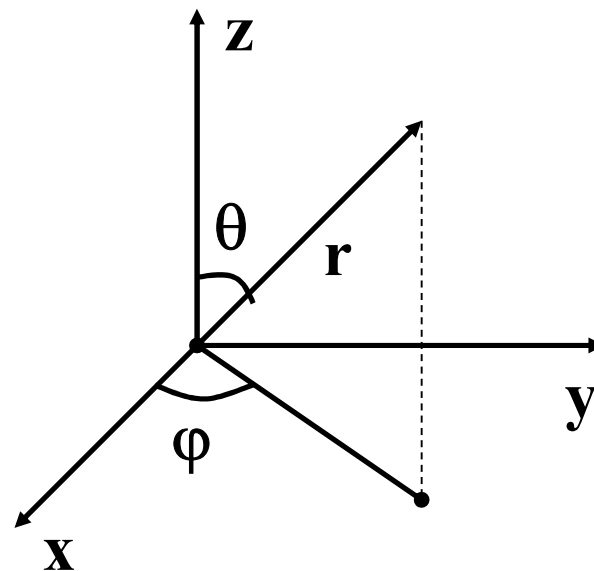
$$[L_i, x_j] = i\hbar \varepsilon_{ijk} x_k$$

同理，可证明角动量和动量算符之间关系

$$[L_i, p_j] = i\hbar \varepsilon_{ijk} p_k$$

C、球极坐标系中的表示

$$\left. \begin{aligned} L_x &= i\hbar(\sin\phi \frac{\partial}{\partial\theta} + \cot\theta \cos\phi \frac{\partial}{\partial\phi}), \\ L_y &= -i\hbar(\cos\phi \frac{\partial}{\partial\theta} - \cot\theta \sin\phi \frac{\partial}{\partial\phi}), \\ \underline{L_z} &= -i\hbar \frac{\partial}{\partial\phi}. \end{aligned} \right\}$$



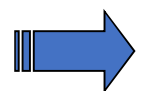
$$\left\{ \begin{aligned} L_x^2 &= \dots, \\ L_y^2 &= \dots, \\ L_z^2 &= -\hbar^2 \frac{\partial^2}{\partial\phi^2}, \\ \underline{L^2} &= -\hbar^2 \left[\frac{1}{\sin\theta} \frac{\partial}{\partial\theta} \left(\sin\theta \frac{\partial}{\partial\theta} \right) + \frac{1}{\sin^2\theta} \frac{\partial^2}{\partial\phi^2} \right] \end{aligned} \right.$$

D、轨道角动量算符的本征值和本征函数

角动量 z 分量 $L_z = -i\hbar \frac{\partial}{\partial \phi}$ 的本征值与本征函数：

本征方程： $L_z \psi = \lambda \psi$

$$\text{or } -i\hbar \frac{\partial}{\partial \phi} \psi = \lambda \psi$$

 $\psi = C e^{\frac{i}{\hbar} \lambda \phi}$

连续性条件： $\psi(0) = \psi(2\pi)$

本征值： $\lambda = m\hbar, m = 0, \pm 1, \pm 2, \dots$, 磁量子数

可见，微观系统的角动量在 z 方向的分量只能取分离值（零或 \hbar 的整数倍）。所以角动量在空间任意方向的投影是量子化的。

本征函数 $\phi_m(\varphi) = Ae^{im\varphi}$

由归一化条件 $\int_0^{2\pi} |\phi_m(\varphi)|^2 d\varphi = A^2 \int_0^{2\pi} d\varphi = 2\pi A^2 = 1$

 $A = 1/\sqrt{2\pi}$

归一化本征函数 $\phi_m(\varphi) = \frac{1}{\sqrt{2\pi}} e^{im\varphi}$

角动量的平方 L^2 的本征值与本征函数：


本征方程： $L^2 Y = \alpha^2 Y$

在球坐标系中



$$-\hbar^2 \left[\frac{1}{\sin \theta} \frac{\partial}{\partial \theta} \left(\sin \theta \frac{\partial}{\partial \theta} \right) + \frac{1}{\sin^2 \theta} \frac{\partial^2}{\partial \varphi^2} \right] Y(\theta, \varphi) = \alpha^2 Y(\theta, \varphi)$$

令 $\lambda = \alpha^2 / \hbar^2$


$$\left[\frac{1}{\sin\theta} \frac{\partial}{\partial\theta} \left(\sin\theta \frac{\partial}{\partial\theta} \right) + \frac{1}{\sin^2\theta} \frac{\partial^2}{\partial\varphi^2} \right] Y(\theta, \varphi) + \lambda Y(\theta, \varphi) = 0$$

此为球面方程（球谐函数方程）。其中 $Y(\theta, \varphi)$ 是 L^2 属于本征值 $\lambda \hbar^2$ 的本征函数。


L^2 的本征函数可以分离变量，令

本征函数： $Y(\theta, \varphi) = \Theta(\theta) \psi_m(\varphi)$

其中： $\psi_m(\varphi) = \frac{1}{\sqrt{2\pi}} e^{im\varphi}, m = 0, \pm 1, \pm 2, \dots,$

本征方程： $\hat{L}^2 Y(\theta, \varphi) = \lambda \hbar^2 Y(\theta, \varphi)$

$$\Rightarrow \frac{1}{\sin \theta} \frac{d}{d\theta} \left(\sin \theta \frac{d}{d\theta} \Theta \right) + \left(\lambda - \frac{m^2}{\sin^2 \theta} \right) \Theta = 0, 0 \leq \theta \leq \pi$$

 令: $\xi = \cos \theta (|\xi| \leq 1)$

$$\frac{d}{d\xi} \left[(1 - \xi^2) \frac{d}{d\xi} \Theta \right] + \left(\lambda - \frac{m^2}{1 - \xi^2} \right) \Theta = 0, 0 \leq \theta \leq \pi$$

连带Legendre方程

只有当: $\lambda = l(l+1), l = 0, 1, 2, \dots$, 多项式解: $P_l^m(\cos \theta), |m| \leq l$

m 阶 l 次连带Legendre函数

m 阶 l 次连带Legendre函数

$$P_l^{|m|}(\cos \theta) = (1 - \cos^2 \theta)^{\frac{m}{2}} \frac{d^m}{dx^m} P_l(\cos \theta)$$

$$l = 0, 1, 2, \dots$$

$$m = -l, -l+1, \dots, l-1, l$$

归一化条件:

$$\int_{-1}^1 P_l^m(\xi) P_{l'}^m(\xi) d\xi = \frac{2}{(2l+1)} \cdot \frac{(l+m)!}{(l-m)!} \delta_{ll'}$$

归一化 Θ 函数:

$$\Theta(\theta) = (-1)^m \sqrt{\frac{2l+1}{2} \cdot \frac{(l-m)!}{(l+m)!}} P_l^m(\cos \theta)$$

L^2 的本征函数为:

$$Y_{lm}(\theta, \varphi) = (-1)^m \sqrt{\frac{2l+1}{4\pi} \cdot \frac{(l-m)!}{(l+m)!}} P_l^m(\cos \theta) e^{im\varphi}$$
$$m = l, l-1, l-2, \dots, -l+2, -l+1, -l$$

球谐函数

本征值:

$$\begin{cases} L^2 Y_{lm} = l(l+1)\hbar^2 Y_{lm} \\ L_z Y_{lm} = m\hbar Y_{lm} \end{cases}$$

$$l = 0, 1, 2, \dots, m = l, l-1, \dots, -l+1, -l$$

讨 论

(1) 球谐函数系 $\{Y_{lm}(\theta, \varphi)\}$ 是 L^2 与 L_z 共同的本征函数系

$$L^2 Y_{lm}(\theta, \varphi) = l(l+1)\hbar^2 Y_{lm}(\theta, \varphi)$$

$$L_z Y_{lm}(\theta, \varphi) = m\hbar Y_{lm}(\theta, \varphi)$$

(2) 简并情况

在求解 L^2 本征方程的过程中，出现角量子数 l 和磁量子数 m 。

$$l = 0, 1, 2, \dots$$

$$m = 0, \pm 1, \pm 2, \dots, \pm l$$

L^2 的本征值 $l(l+1)\hbar^2$ 仅由角量子数 l 确定，而本征函数 $Y_{lm}(\theta, \varphi)$ 却由 l 和 m 确定。对于一个 l 值，可取 $0, \pm 1, \pm 2, \dots, \pm l$ ，这样就有 $(2l+1)$ 个 m 值

l 相同而 m 值不同的本征函数与同一个本征值 $l(l+1)\hbar^2$ 对应。

即 L^2 属于本征值 $l(l+1)\hbar^2$ 的线性独立本征函数 $Y_{lm}(\theta, \varphi)$ 共有 $(2l+1)$ 个。因此, \hat{L}^2 的本征值 $l(l+1)\hbar^2$ 是 $(2l+1)$ 度简并的。

Ex: $l=0, \quad m=0$

$$Y_{00}(\theta, \varphi) = \frac{1}{\sqrt{4\pi}}$$

$$L^2 = 0(0+1)\hbar = 0$$

简并度为1

$l=1, \quad m=0, \pm 1$

$$\begin{cases} Y_{11}(\theta, \varphi) = -\sqrt{\frac{3}{8\pi}} \sin \theta e^{i\varphi} \\ Y_{10}(\theta, \varphi) = \sqrt{\frac{3}{4\pi}} \cos \theta \\ Y_{1-1}(\theta, \varphi) = \sqrt{\frac{3}{8\pi}} \sin \theta e^{-i\varphi} \end{cases} \quad L^2 = 1(1+1)\hbar^2$$

简并度为3

$$l = 2, \quad m = 0, \pm 1, \pm 2$$

$$\begin{cases} Y_{22}(\theta, \varphi) = \sqrt{\frac{15}{32\pi}} \sin^2 \theta e^{i2\varphi} \\ Y_{21}(\theta, \varphi) = -\sqrt{\frac{15}{8\pi}} \sin \theta \cos \theta e^{i\varphi} \\ Y_{20}(\theta, \varphi) = \sqrt{\frac{5}{16\pi}} (3 \cos^2 \theta - 1) \end{cases}$$

$$\begin{cases} Y_{2-1}(\theta, \varphi) = \sqrt{\frac{15}{8\pi}} \sin \theta \cos \theta e^{-i\varphi} \\ Y_{2-2}(\theta, \varphi) = \sqrt{\frac{15}{32\pi}} \sin^2 \theta e^{-i2\varphi} \end{cases}$$

$$\alpha^2 = 2(2+1)\hbar^2$$

简并度为5

L^2 本征值:

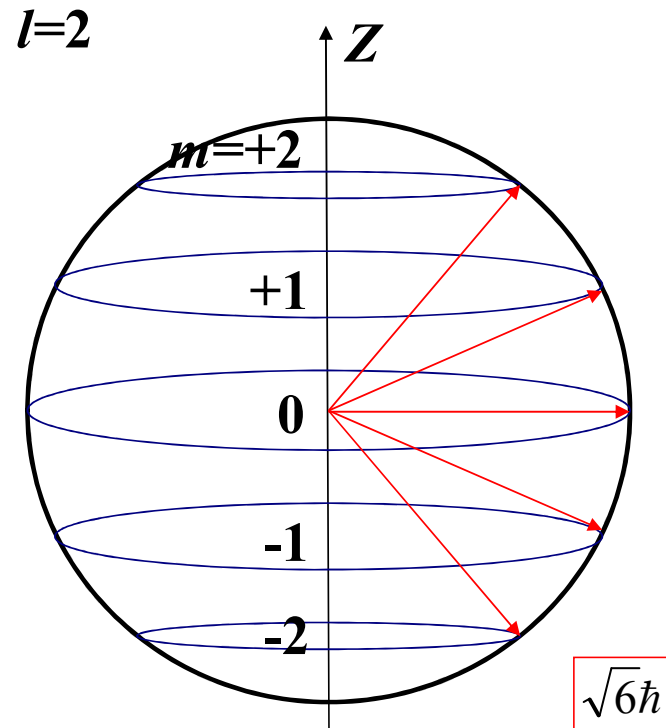
$$l(l+1)\hbar^2, l=1,2,\dots$$

确定了角动量的大小

L_z 本征值:

$$m\hbar, m=0, \pm 1, \pm 2, \dots \pm l$$

确定了角动量的方向



角动量的空间取向量子化

二、自旋

A、 自旋为 $\frac{1}{2}$ 的粒子：角动量量子化

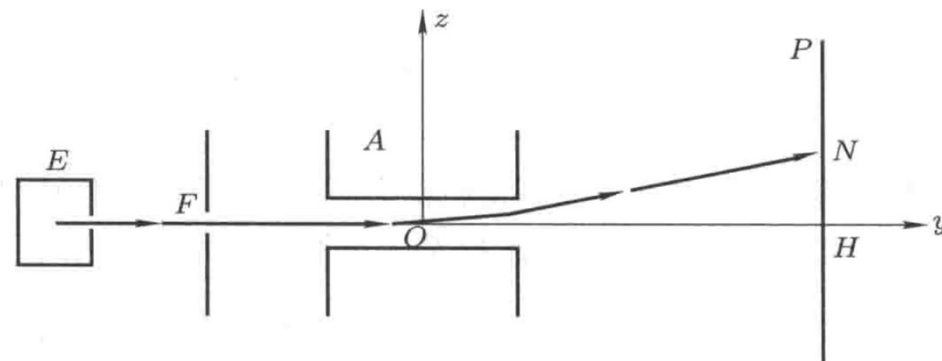
B、 就自旋为 $\frac{1}{2}$ 的情况说明量子力学的假定

A、自旋为 $\frac{1}{2}$ 的粒子：角动量量子化

1. Stern-Gerlach 实验

(1) 实验描述

S 态($l=0$)的银·原子束流，经非均匀磁场发生偏转，在感光板上呈现两条分立线。

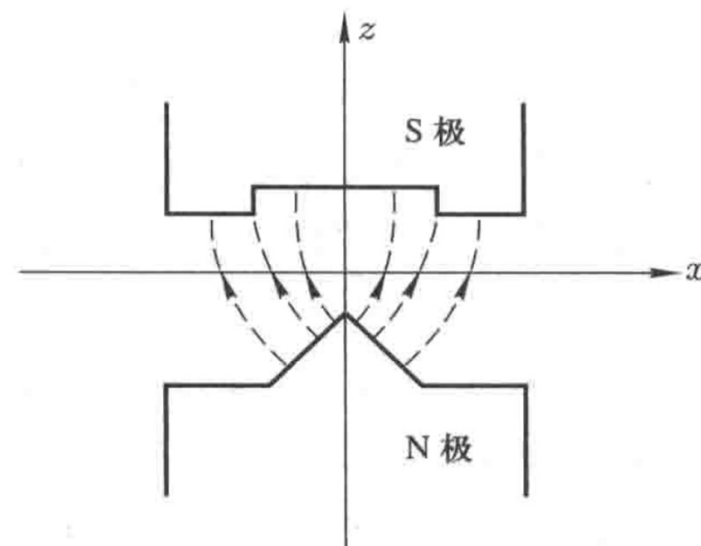


(2) 结论

I. 银原子有磁矩

在非均匀磁场中发生偏转

II. 银原子磁矩只有两种取向
即空间量子化的



(3) 讨论

设原子磁矩为 \vec{M} ，外磁场为 \vec{B}

原子在 z 方向外磁场 \vec{B} 中的势能为

$$W = -\vec{M} \cdot \vec{B} = -MB_z \cos \theta$$

磁矩与磁场之
夹角

原子 z 向受力

$$F_z = -\frac{\partial W}{\partial z} = M \frac{\partial B_z}{\partial z} \cos \theta$$

分析

若原子磁矩可任意取向，则 $\cos \theta$ 可在 $(-1, +1)$ 之间连续变化，感光板将呈现连续带

但是实验结果是：出现的两条分立线对应 $\cos \theta = -1$ 和 $+1$ ，处于 s 态的氢原子 $\ell=0$ ，没有轨道磁矩，所以原子磁矩来自于电子的固有磁矩，即自旋磁矩。

2. 电子自旋假设

Uhlenbeck 和 Goudsmit 1925年根据上述现象提出了电子自旋假设

1) 每个电子都具有自旋角动量，它在空间任何方向上的投影只能取两个数值：

$$\vec{S} \longrightarrow S_z = \pm \frac{\hbar}{2} \quad \text{不是}\hbar\text{整数倍}$$

2) 每个电子都具有自旋磁矩，它与自旋角动量的关系为：

$$\vec{M}_S = \frac{-e}{\mu} \vec{S}$$

自旋磁矩，在空间任何方向上的投影只能取两个数值：

$$M_{S_z} = \pm \frac{e\hbar}{2\mu} = \pm M_B \quad \text{Bohr 磁子}$$

3. 回转磁比率

1) 电子回转磁比率

$$\frac{M_{S_z}}{S_z} = -\frac{e}{\mu}$$

2) 轨道回转磁比率

我们知道，轨道角动量与轨道磁矩的关系是： $\vec{M}_L = -\frac{e}{2\mu}\vec{L}$

则，轨道回转磁比率为： $-\frac{e}{2\mu}$

可见电子回转磁比率是轨道回转磁比率的二倍

5. 自旋算符

(1) 概述

自旋角动量是纯量子概念，它不可能用经典力学来解释。

自旋角动量也是一个力学量，但是它和其他力学量有着根本的差别

●通常的力学量都可以表示为坐标和动量的函数 $F = F(\vec{r}, \vec{p})$

而自旋角动量则与电子的坐标和动量无关，它是电子内部状态的表征，是描写电子状态的第四个自由度（第四个变量）。

●与其他力学量一样，自旋角动量也是用一个算符描写，记为 \vec{S}

自旋角动量

与坐标、动量无关

$\vec{r} \times \vec{p}$ 不适用

轨道角动量

同是角动量

满足同样的角动量对易关系

异同点

轨道角动量

$$\vec{L}$$

$$\vec{L} \times \vec{L} = i\hbar \vec{L}$$

$$[L_x, L_y] = i\hbar L_z$$

$$[L_y, L_z] = i\hbar L_x$$

$$[L_z, L_x] = i\hbar L_y$$

自旋角动量

$$\vec{S}$$

$$\vec{S} \times \vec{S} = i\hbar \vec{S}$$

$$[S_x, S_y] = i\hbar S_z$$

$$[S_y, S_z] = i\hbar S_x$$

$$[S_z, S_x] = i\hbar S_y$$

由于自旋角动量在空间任意方向上的投影只能取 $\pm\hbar/2$ 两个值

所以 S_x S_y S_z 的本征值都是 $\pm\hbar/2$ ，其平方为 $(\hbar/2)^2$

S^2 算符的本征值是 $S^2 = S_x^2 + S_y^2 + S_z^2 = \frac{3}{4}\hbar^2$

仿照

$$\alpha^2 = l(l+1)\hbar^2 \longrightarrow S^2 = s(s+1)\hbar^2 = \frac{3}{4}\hbar^2 \longrightarrow s = \frac{1}{2}$$

轨道量子数 l 可有多个数值

自旋量子数 s
只有一个数值

(2) 可观测量 S_z 和自旋态空间

对于自旋角动量 z 分量, 应当联系于一个观察算符 S_z , 它具有两个相反的非简并的本征值: 分别是 $+\frac{\hbar}{2}$ 和 $-\frac{\hbar}{2}$, 对应的本征矢分别记作 $|+\rangle$ 和 $|-\rangle$, 即

$$\begin{cases} S_z |+\rangle = +\frac{\hbar}{2} |+\rangle \\ S_z |-\rangle = -\frac{\hbar}{2} |-\rangle \end{cases} \quad \text{且} \quad \begin{cases} \langle +|+\rangle = \langle -|-\rangle = 1 \\ \langle +|-\rangle = \langle -|+\rangle = 0 \end{cases}$$

S_z 本身就构成一个观测算符完备集，其态空间是二维的

$|+\rangle$ 和 $|-\rangle$ 构成一个基

$$|+\rangle\langle+|+|-\rangle\langle-|=I$$

在这个基下 S_z 具有对角形式的矩阵

$$[S_z] = \frac{\hbar}{2} \begin{bmatrix} 1 & 0 \\ 0 & -1 \end{bmatrix}$$

(3) Pauli 算符

1. 引进Pauli 算符

令

$$\vec{S} = \frac{\hbar}{2} \vec{\sigma}$$

分量形式



$$\begin{cases} S_x = \frac{\hbar}{2} \sigma_x \\ S_y = \frac{\hbar}{2} \sigma_y \\ S_z = \frac{\hbar}{2} \sigma_z \end{cases}$$

$$\text{对易关系: } \vec{S} \times \vec{S} = i\hbar \vec{S} \quad \Rightarrow \quad \vec{\sigma} \times \vec{\sigma} = 2i\vec{\sigma}$$

分量形式:

$$\begin{cases} \sigma_x \sigma_y - \sigma_y \sigma_x = 2i\sigma_z \\ \sigma_y \sigma_z - \sigma_z \sigma_y = 2i\sigma_x \\ \sigma_z \sigma_x - \sigma_x \sigma_z = 2i\sigma_y \end{cases}$$

因为 S_x, S_y, S_z 的本征值都是 $\pm\hbar/2$,
所以 $\sigma_x, \sigma_y, \sigma_z$ 的本征值都是 ± 1 ;

$\sigma_x^2, \sigma_y^2, \sigma_z^2$ 的本征值都是 1

即:

$$\sigma_x^2 = \sigma_y^2 = \sigma_z^2 = \mathbf{I}$$

2. 反对易关系

基于 σ 的对易关系，可以证明
 σ 各分量之间满足反对易关系：

$$\begin{cases} \sigma_x \sigma_y + \sigma_y \sigma_x = 0 \\ \sigma_y \sigma_z + \sigma_z \sigma_y = 0 \\ \sigma_z \sigma_x + \sigma_x \sigma_z = 0 \end{cases}$$

证： $\sigma_y \sigma_z - \sigma_z \sigma_y = 2i\sigma_x$

左乘 σ_y $\sigma_y \sigma_y \sigma_z - \sigma_y \sigma_z \sigma_y = 2i\sigma_y \sigma_x$ $\xrightarrow{\quad}$ $\sigma_z - \sigma_y \sigma_z \sigma_y = 2i\sigma_y \sigma_x$

$\sigma_y^2 = 1$

右乘 σ_y $\sigma_y \sigma_z \sigma_y - \sigma_z \sigma_y^2 = 2i\sigma_x \sigma_y$

$$\sigma_y \sigma_z \sigma_y - \sigma_z = 2i\sigma_x \sigma_y$$

$\xrightarrow{\quad}$ $\sigma_x \sigma_y + \sigma_y \sigma_x = 0$

或 $\sigma_x \sigma_y = -\sigma_y \sigma_x$

[证毕]

同理可证：z, y 分量的反对易关系亦成立。

由对易关系和反对易关系还可以得到
 关于 **Pauli** 算符的如下非常有用性质：

$\xrightarrow{\quad}$
$$\begin{cases} \sigma_x \sigma_y = -\sigma_y \sigma_x = i\sigma_z \\ \sigma_y \sigma_z = -\sigma_z \sigma_y = i\sigma_x \\ \sigma_z \sigma_x = -\sigma_x \sigma_z = i\sigma_y \end{cases}$$

3. Pauli算符的矩阵形式

根据定义 $\frac{\hbar}{2}\hat{\sigma}_z = S_z = \frac{\hbar}{2}\begin{pmatrix} 1 & 0 \\ 0 & -1 \end{pmatrix} \Rightarrow \hat{\sigma}_z = \begin{pmatrix} 1 & 0 \\ 0 & -1 \end{pmatrix}$

求Pauli算符的其他两个分量

利用反对易关系

令 $\sigma_x = \begin{pmatrix} a & b \\ c & d \end{pmatrix}$



$$\sigma_z \sigma_x = -\sigma_x \sigma_z$$

得: $\begin{pmatrix} 1 & 0 \\ 0 & -1 \end{pmatrix} \begin{pmatrix} a & b \\ c & d \end{pmatrix} = -\begin{pmatrix} a & b \\ c & d \end{pmatrix} \begin{pmatrix} 1 & 0 \\ 0 & -1 \end{pmatrix} \Rightarrow \begin{pmatrix} a & b \\ -c & -d \end{pmatrix} = \begin{pmatrix} -a & b \\ -c & d \end{pmatrix} \Rightarrow \begin{cases} a=0 \\ d=0 \end{cases}$

σ_x 简化为: $\sigma_x = \begin{pmatrix} 0 & b \\ c & 0 \end{pmatrix}$ 由力学量算符厄密性 $\sigma_x^\dagger = \sigma_x \Rightarrow \begin{pmatrix} 0 & b \\ c & 0 \end{pmatrix}^\dagger = \begin{pmatrix} 0 & c^* \\ b^* & 0 \end{pmatrix} = \begin{pmatrix} 0 & b \\ c & 0 \end{pmatrix}$ 得: $b = c^*$ (或 $c = b^*$)

$$\sigma_x = \begin{pmatrix} 0 & c^* \\ c & 0 \end{pmatrix} \quad \sigma_x^2 = \begin{pmatrix} 0 & c^* \\ c & 0 \end{pmatrix} \begin{pmatrix} 0 & c^* \\ c & 0 \end{pmatrix} = \begin{pmatrix} |c|^2 & 0 \\ 0 & |c|^2 \end{pmatrix} = I \Rightarrow |c|^2 = 1$$

令: $c = \exp[i\alpha]$
(α 为实), 则

$$\sigma_x = \begin{pmatrix} 0 & e^{-i\alpha} \\ e^{i\alpha} & 0 \end{pmatrix}$$

$\sigma_x^2 = I$

求 σ_y 的矩阵形式

$$i\sigma_y = \sigma_z \sigma_x \Rightarrow \sigma_y = -i\sigma_z \sigma_x$$

写成矩阵形式

$$\sigma_y = -i \begin{pmatrix} 1 & 0 \\ 0 & -1 \end{pmatrix} \begin{pmatrix} 0 & e^{-i\alpha} \\ e^{i\alpha} & 0 \end{pmatrix} = \begin{pmatrix} 0 & -ie^{-i\alpha} \\ ie^{i\alpha} & 0 \end{pmatrix}$$

这里有一个相位不定性，习惯上取 $\alpha=0$,

于是得到 **Pauli** 算符的矩阵形式为：

$$\sigma_x = \begin{pmatrix} 0 & 1 \\ 1 & 0 \end{pmatrix} \quad \sigma_y = \begin{pmatrix} 0 & -i \\ i & 0 \end{pmatrix} \quad \sigma_z = \begin{pmatrix} 1 & 0 \\ 0 & -1 \end{pmatrix}$$

从自旋算符与 **Pauli** 矩阵的关系,自然得到自旋算符的矩阵表示：

$$S_x = \frac{\hbar}{2} \begin{pmatrix} 0 & 1 \\ 1 & 0 \end{pmatrix} \quad S_y = \frac{\hbar}{2} \begin{pmatrix} 0 & -i \\ i & 0 \end{pmatrix} \quad S_z = \frac{\hbar}{2} \begin{pmatrix} 1 & 0 \\ 0 & -1 \end{pmatrix}$$

更一般地，对于在极角为 (θ, φ) 的单位矢量 \vec{n} 方向上，总角动量 \vec{S} 的分量

$$S_n = \vec{n} \cdot \vec{S} = S_x \sin \theta \cos \varphi + S_y \sin \theta \sin \varphi + S_z \cos \theta$$

因此相应的观察算符 S_n 在基 $\{|+\rangle, |-\rangle\}$ 下的矩阵表示为

$$[S_n] = \frac{\hbar}{2} \begin{bmatrix} \cos \theta & \sin \theta e^{-i\varphi} \\ \sin \theta e^{i\varphi} & -\cos \theta \end{bmatrix}$$

该算符的本征值为 $\pm \frac{\hbar}{2}$ 在基 $\{|+\rangle, |-\rangle\}$ 下的本征矢量记作 $|+\rangle_n, |-\rangle_n$

$$\begin{cases} |+\rangle_n = \cos \frac{\theta}{2} e^{-i\frac{\varphi}{2}} |+\rangle + \sin \frac{\theta}{2} e^{i\frac{\varphi}{2}} |-\rangle \\ |-\rangle_n = -\sin \frac{\theta}{2} e^{-i\frac{\varphi}{2}} |+\rangle + \cos \frac{\theta}{2} e^{i\frac{\varphi}{2}} |-\rangle \end{cases}$$

将算符 S_x 、 S_y 的本征值本征矢量记作 $|\pm\rangle_x, |\pm\rangle_y$

$$|\pm\rangle_x = \frac{1}{\sqrt{2}}[|+\rangle \pm |-\rangle]$$

$$|\pm\rangle_y = \frac{1}{\sqrt{2}}[|+\rangle \pm i|-\rangle]$$

B、就自旋为 $\frac{1}{2}$ 的情况说明量子力学的假定

1. 各自旋态的制备

(1) $|+\rangle$ 和 $|-\rangle$ 自旋态的制备

算符 S_z 的本征态的制备非常简单。只要利用斯特恩-盖拉赫实验的结果，在右侧选择性地分别让向上偏转或向下偏转的银原子束通过，例如在原有冷凝位置开孔，那么它们分别就全部处于是 $|+\rangle$ 态或 $|-\rangle$ 态。

因此实际上这套设备对于银原子所起的作用相当于是某种“原子起偏器”，类似于光学起偏器是将任意偏振成分的光通过后变为某一偏振光。

(2) $|\pm\rangle_x$ 、 $|\pm\rangle_y$ 、 $|\pm\rangle_n$ 自旋态的制备

只要将系统的设备进行旋转，使其银原子束发出的方向分别平行于 Ox 轴、 Oy 轴、单位矢量 \vec{n} ，由于相应的算符 S_x 、 S_y 、 S_z 也都分别构成可观测算符完备集，因此可以完全类似 S_z 的处理进行态的制备。

(3) 一般自旋态的制备

$$|\psi\rangle = \alpha |+\rangle + \beta |-\rangle \quad (|\alpha|^2 + |\beta|^2 = 1)$$

模长方面，事实上一定存在唯一的 $\theta \in [0, \pi]$ 满足：

$$\begin{cases} \cos \frac{\theta}{2} = |\alpha| \\ \sin \frac{\theta}{2} = |\beta| \end{cases}$$

而相位方面，存在物理效应的仅仅是 α 、 β 的相位差，因此可令

$$\begin{cases} \varphi = \arg \beta - \arg \alpha \\ \chi = \arg \beta + \arg \alpha \end{cases}$$

所以

$$\begin{cases} \arg \alpha = \frac{\chi}{2} - \frac{\varphi}{2} \\ \arg \beta = \frac{\chi}{2} + \frac{\varphi}{2} \end{cases}$$

$$|\psi\rangle = e^{i\frac{\chi}{2}} \left[\cos \frac{\theta}{2} e^{-i\frac{\varphi}{2}} |+\rangle + \sin \frac{\theta}{2} e^{i\frac{\varphi}{2}} |-\rangle \right]$$

与 S_n 的本征矢 $|+\rangle_n = \cos \frac{\theta}{2} e^{-i\frac{\varphi}{2}} |+\rangle + \sin \frac{\theta}{2} e^{i\frac{\varphi}{2}} |-\rangle$ 比较：

对于任意的自旋态 $|\psi\rangle$ ，总存在一个单位矢量 \vec{n} 所决定的方向，使得它与 $|+\rangle_n$ 只相差一个没有物理意义的相位因子。

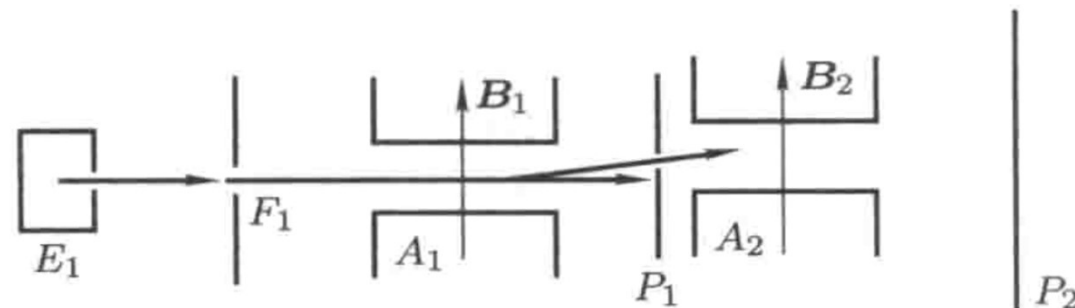
2. 自旋的测量

利用斯特恩-盖拉赫实验设备可以测量银原子的角动量在指定方向上的分量；另一方面也可以用来制备指定的自旋态。因此两套实验设备级联放置，实际上就可以构成一种类似于光学中的“检偏设备”，用以验证前面提出的量子力学模型。

实验假定两套设备安排很近且无其他干扰，使得银原子在两套设备之间运动过程中自旋态不会发生改变。

(1) 同向级联设备实验

现使两套设备的轴线均平行于 Oz 轴。第一套设备的作用是制备处于 $|+\rangle$ 态的原子，第二套设备测量其 S_z 。

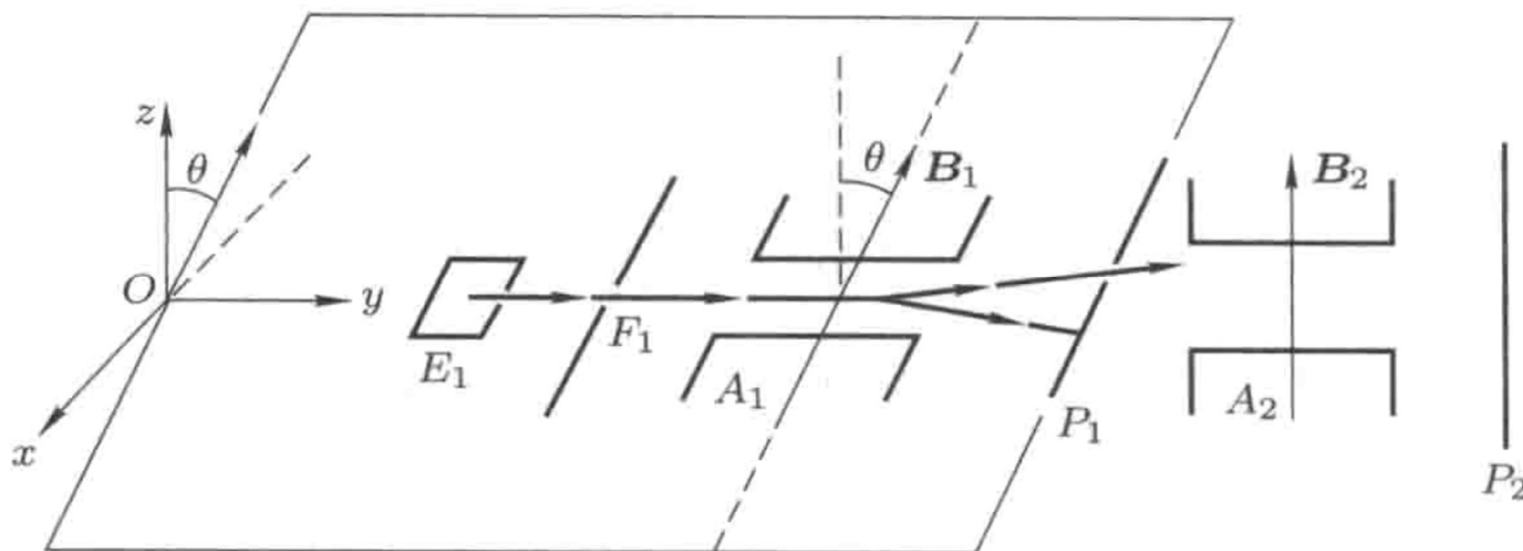


根据量子力学的假定，进入第二套设备的银原子全部处于本征态 $|+\rangle$ ，

因而测量结果一定是本征值 $+\frac{\hbar}{2}$ ，

因而所有银原子都应该冷凝到同一个斑点处。实验结果与理论预测一致。

(2) 异向级联设备实验一



现在前一实验基础上调整第一套设备，使其轴线平行于极角 $(\theta, \varphi=0)$ 的单位矢量 \vec{n} （即位于 xOz 面内），而保持第二套设备轴线方向不变。

于是从“起偏器”发出的原子自旋态都处于

$$|\psi\rangle = \cos\frac{\theta}{2}|+\rangle + \sin\frac{\theta}{2}|-\rangle$$

那么在经过第二套设备后，理论将会预期，原子有 $p_+ = \cos^2\frac{\theta}{2}$ 的概率测量值为 $+\hbar/2$ ，落到上冷凝点；

有 $p_- = \sin^2\frac{\theta}{2}$ 的概率测量值为 $-\hbar/2$ ，落到下冷凝点；

因而当原子数目较多的时候，上下冷凝点处的原子数目应当分别正比于 $\cos^2\frac{\theta}{2}$ 和 $\sin^2\frac{\theta}{2}$ 。实验结果证明了这一预测。

(3) 异向级联设备实验二

第一台设备按上述调整，同时将第二套设备的轴线调整为平行于 Ox 轴，即对于态

$$|\psi\rangle = \cos\frac{\theta}{2}|+\rangle + \sin\frac{\theta}{2}|-\rangle$$

测量其角动量 x 分量 S_x 。可以计算得

$$\begin{cases} {}_x\langle+|\psi\rangle = \frac{1}{\sqrt{2}}\left(\cos\frac{\theta}{2} + \sin\frac{\theta}{2}\right) = \cos\left(\frac{\pi}{4} - \frac{\theta}{2}\right) \\ {}_x\langle-|\psi\rangle = \frac{1}{\sqrt{2}}\left(\cos\frac{\theta}{2} - \sin\frac{\theta}{2}\right) = \sin\left(\frac{\pi}{4} - \frac{\theta}{2}\right) \end{cases}$$

$$\begin{cases} {}_x\langle +|\psi\rangle = \frac{1}{\sqrt{2}}\left(\cos\frac{\theta}{2} + \sin\frac{\theta}{2}\right) = \cos\left(\frac{\pi}{4} - \frac{\theta}{2}\right) \\ {}_x\langle -|\psi\rangle = \frac{1}{\sqrt{2}}\left(\cos\frac{\theta}{2} - \sin\frac{\theta}{2}\right) = \sin\left(\frac{\pi}{4} - \frac{\theta}{2}\right) \end{cases}$$

可见测量 S_x 得到本征值 $\pm\hbar/2$ 的概率分别是

$$\cos^2\left(\frac{\pi}{4} - \frac{\theta}{2}\right) \text{ 和 } \sin^2\left(\frac{\pi}{4} - \frac{\theta}{2}\right)。$$

关于实验检验，可以通过观察冷凝斑点的强度来验证。

(4) 平均值

关于这一实验的量子理论与经典理论之间的关系，实际上应当从均值期望的角度来理解。

例如在异向级联设备实验一中，无论 θ 大小如何（只要不等于 0 或 π ），第二套设备测量其 S_z 总会出现两个结果： $\pm\hbar/2$ 。

但是这与经典直觉是相悖的，经典理论给出的结果应当是唯一的，即 $\frac{\hbar}{2}\cos\theta$

实际上，正确的理解应当是从期望角度来解释两者之间的联系，即认为经典结果是对于量子结果的均值描述。

若从概率的角度来看的话， θ 越小，得到 $-\hbar/2$ 结果的概率 $\sin^2 \frac{\theta}{2}$ 也就越小。

一般地，在多次（ N 次）全同实验下，测量结果的平均值

$$\langle S_z \rangle = \frac{1}{N} \left[\frac{\hbar}{2} N \cos^2 \frac{\theta}{2} - \frac{\hbar}{2} N \sin^2 \frac{\theta}{2} \right] = \frac{\hbar}{2} \cos \theta$$

这与经典结果是一致的。

实际上这也是算符 S_z 在 $|\psi\rangle$ 下的期望 $\langle S_z \rangle$ ，或者说正是矩阵元 $\langle \psi | S_z | \psi \rangle$

类似地

$$\langle S_x \rangle = \frac{1}{N} \left[\frac{\hbar}{2} N \cos^2 \left(\frac{\pi}{4} - \frac{\theta}{2} \right) - \frac{\hbar}{2} N \sin^2 \left(\frac{\pi}{4} - \frac{\theta}{2} \right) \right] = \frac{\hbar}{2} \sin \theta$$

也等于相应算符 S_x 的矩阵元，例如在基 $\{|+\rangle, |-\rangle\}$ 下计算：

$$\langle \psi | S_x | \psi \rangle = \frac{\hbar}{2} \begin{bmatrix} \cos \frac{\theta}{2} & \sin \frac{\theta}{2} \end{bmatrix} \begin{bmatrix} 0 & 1 \\ 1 & 0 \end{bmatrix} \begin{bmatrix} \cos \frac{\theta}{2} \\ \sin \frac{\theta}{2} \end{bmatrix} = \frac{\hbar}{2} \sin \theta$$

可见角动量分量的均值，就是相应算符的期望——矩阵元，这进一步说明了引入相应算符来描述角动量的合理性。

前面得到的两个均值 $\frac{\hbar}{2}\cos\theta$ 和 $\frac{\hbar}{2}\sin\theta$,

实际上正是经典理论中模长为 $\hbar/2$ 、取向为“起偏器”轴向的经典角动量分别在 Oz 轴和 Ox 轴的分量。

更普遍地, 若计算三个算符 S_x 、 S_y 、 S_z 在态 $|+\rangle_n$ 中的平均值:

$$\begin{cases} {}_n\langle +|S_x|+\rangle_n = \frac{\hbar}{2}\sin\theta\cos\varphi \\ {}_n\langle +|S_y|+\rangle_n = \frac{\hbar}{2}\sin\theta\sin\varphi \\ {}_n\langle +|S_z|+\rangle_n = \frac{\hbar}{2}\cos\theta \end{cases}$$

实际上就是经典理论中模长为 $\hbar/2$ 、取向为 (θ,φ) 方向的经典角动量分别在 Ox 轴、 Oy 轴和 Oz 轴的分量。